



Jméno: **Petr Červenka** Kolega: Michal Vranovský  
Kruh: **Čtvrtek** Číslo skup.: 2  
Měřeno: **30.9.2021** Zpracování: 10 h

Klasifikace:

## 1 Pracovní úkoly

1. DŮ: Domácí úkol

2. Úkol 1:

- Změřte závislost relativního délkového prodloužení  $\varepsilon = \frac{\Delta L}{L}$  ocelového drátu na napětí  $\sigma = \frac{F}{S}$  ve dvou případech: při postupném zatěžování a postupném odlehčování.
- Pro oba případy sestrojte graf.
- Metodou nejmenších čtverců (ne fitem!) vypočítejte modul pružnosti v tahu  $E$  ocelového drátu. Získané parametry použijte k vykreslení přímek prokládající sestrojené grafy.

3. Úkol 2:

- Změřte závislost průhybu  $z$  ocelového nosníku na velikosti síly  $F$  ve dvou případech: při postupném zatěžování a postupném odlehčování.
- Pro oba případy sestrojte graf.
- Metodou nejmenších čtverců (ne fitem!) vypočítejte modul pružnosti v tahu  $E$  ocelového drátu. Získané parametry použijte k vykreslení přímek prokládající sestrojené grafy.

4. Úkol 3:

- Změřte závislost úhlu zkroucení  $\phi$  ocelového drátu na velikosti točivého momentu  $M$  ve dvou případech: při jeho postupném zvětšování a zmenšování.
- Pro oba případy sestrojte graf.
- Metodou nejmenších čtverců (ne fitem!) vypočítejte modul pružnosti ve smyku  $G$  ocelového drátu. Získané parametry použijte k vykreslení přímek prokládající sestrojené grafy.

5. Úkol 4:

- Za pomoci torzního kyvadla určete moment setrvačnosti  $I_0$  systému bez závaží, pomocí něj pak modul pružnosti ve smyku  $G$  ocelového drátu. Dobu torzních kmitů měřte postupnou metodou.

## 2 Použité přístroje a pomůcky

Při měření byly použity pomůcky a přístroje: digitální váhy, posuvné měřidlo, mikrometrický šroub, pásové měřidlo (metr), posuvné měřidlo, sada závaží, mikroskop s okulárním mikrometrem, 2 břity a nosník, stojany, struny, indikátorové hodinky, kotouč s úhломěrem, provázek, 2 kladky, závitová tyč, mobil s měřením času.

## 3 Teoretický úvod

Reálná tělesa můžeme popsat rovnicemi pro tělesa s nekonečně mnoha stupni volnosti. Řešení těchto rovnic je obtížné. Pro malá prodloužení platí Hookův zákon

$$\sigma = E\varepsilon = E \frac{\Delta L}{L} = \frac{F}{S} . \quad (1)$$

Pro naše výpočty použijeme ( $i$  indexuje pořadové číslo měření)

$$(\Delta L)_i = \frac{4Lg}{\pi E d^2} m_i . \quad (2)$$

kde  $m$  je hmotnost závaží,  $d$  je průměr struny,  $L$  je délka struny,  $\Delta L$  je prodloužení struny.

Z domácího úkolu známe plošný moment setrvačnosti tyče obdélníkového tvaru. Dosazením do rovnice pro ohyb nosníku na břitech dostaneme pro výchylku jeho prostřední bodu

$$v_i = -\frac{gL^3}{4Eab^3}m_i, \quad (3)$$

kde  $v_i$  je výchylka nosníku z rovnovážné polohy při  $i$ -tém měření,  $L$  je vzdálenost břitů,  $a$  je šířka nosníku,  $b$  je výška nosníku.

Krutem struny lze změřit modul pružnosti ve smyku pomocí vztahu

$$\phi_i = \frac{2L\zeta m_i g}{\pi R^4 G}. \quad (4)$$

Torzní kmity lze vybudit krutem struny a následným uvolněním. Pro periodu torzních kmitů platí

$$T = \sqrt{\frac{8LI}{GR^4}}. \quad (5)$$

V našem experimentu představuje torzní kyvadlo závitová tyč se závažími zavěšenými na struně. Ze známosti dvou různých konfigurací (konfig. A a B) závaží na tyči a dvou period ( $T_A, T_B$ ) torzních kmitů lze určit moment setrvačnosti závitové tyče

$$I_{tyč} = \frac{T_A^2(I_{B1} + I_{B2}) - T_B^2(I_{A1} + I_{A2})}{T_B^2 - T_A^2} \quad I_1 \approx I_2 \quad 2 \frac{T_A^2 I_{B1} - T_B^2 I_{A1}}{T_B^2 - T_A^2}. \quad (6)$$

Při statistickém zpracování našich výsledků budeme používat rovnice pro výpočet průměru a chyby měření náhodné veličiny

$$\bar{x} = \frac{1}{N} \sum_{i=1}^N x_i, \quad (7)$$

$$\sigma_x = \sqrt{\frac{1}{N(N-1)} \sum_{i=1}^N (x_i - \bar{x})^2}. \quad (8)$$

Vezmeme-li lineární funkci  $f: y = a \cdot x + b$  a minimalizujeme-li hodnotu  $\sum_{i=1}^N (y_i - f(x_i))^2$  dostaneme hodnoty koeficientů

$$a = \frac{N \sum_{i=1}^N x_i y_i - \sum_{i=1}^N x_i \sum_{i=1}^N y_i}{N \sum_{i=1}^N (x_i)^2 - (\sum_{i=1}^N x_i)^2}, \quad b = \frac{\sum_{i=1}^N y_i - a \sum_{i=1}^N x_i}{N}. \quad (9)$$

Pro chyby parametrů převezmeme z [3] vzorce

$$s_y = \sqrt{\frac{1}{N-1} \sum_{i=1}^N (y_i - b - ax_i)^2} \quad (10)$$

$$\sigma_a = s_y \sqrt{\frac{\sum_{i=1}^N x_i}{N \sum_{i=1}^N (x_i)^2 - (\sum_{i=1}^N x_i)^2}} \quad (11)$$

$$\sigma_b = s_y \sqrt{\frac{N}{N \sum_{i=1}^N (x_i)^2 - (\sum_{i=1}^N x_i)^2}}. \quad (12)$$

Dále budeme využijeme metodu postupných měření. Princip spočívá v tom, že máme sudý počet naměřených hodnot  $N$ , které rozdělíme na dvě poloviny. Dostaneme hodnoty  $x_k, x_{k+\frac{N}{2}}$ , kde  $k = 0, 1, \dots, \frac{N}{2}$ . Utvoříme rozdíl dvojic  $z_k = x_{k+\frac{N}{2}} - x_k$ . Pro převodní vztahy platí

$$\bar{x} = \frac{\bar{z}}{\frac{N}{2}} = \frac{\sum_{i=1}^{\frac{N}{2}} (z_i)}{\frac{N}{2}} \quad (13)$$

$$\sigma_x = \frac{\sigma_z}{\frac{N}{2}} = \sqrt{\frac{\sum_{i=1}^{\frac{N}{2}} (z_i - \bar{z})^2}{(\frac{N}{2} - 1) \frac{N}{2}}} \cdot \frac{1}{\frac{N}{2}}. \quad (14)$$

Během výpočtů budeme muset určit chybu nepřímých měření. Pokud  $y = f(x_1, x_2, \dots, x_n)$ ,  $n \in \mathbb{N}$ , pak pro chybu veličiny  $y$  platí

$$(\sigma_y)^2 = \left(\frac{\partial f}{\partial x_1}\right)^2 \sigma_{x_1}^2 + \dots + \left(\frac{\partial f}{\partial x_n}\right)^2 \sigma_{x_n}^2. \quad (15)$$

## 4 Postup měření

Postup měření bude složen ze čtyř částí. Každá část bude věnována jednomu ze čtyř úkolů.

Na počátku měření jsem zvažili jednotlivá závaží a zapsali si jejich hmotnosti.

### 1. Úkol 1

- Předepnuli jsme strunu závažím o hmotnosti 101 g. Zapamatovali jsme si hodnotu (referenční hodnota), kterou ukazovaly indikátorové hodiny.
- Postupně jsme zavěšovali další závaží a zapsali jsme si hodnotu, kterou ukázaly indikátorové hodiny. Odečtením referenční hodnoty od právě napsané hodnoty jsme dostali prodloužení struny.
- Po zavěšení určitého počtu závaží jsme postup obrátili. Závaží jsme postupně odebírali a analogicky jsme určovali prodloužení.

### 2. Úkol 2

- Asistent nám zapojil světlo u mikroskopu.
- Změřili jsme výšku a šířku obdélníkové tyče pomocí mikrom. šroubu.
- Tyč jsme posunuli tak, aby místo působení síly (místo z háčkem na závaží) bylo přesně uprostřed břitů.
- Změřili jsme vzdálenost břitů.
- Zaostřili jsme obraz v mikroskopu tak, abychom viděli černou rysku na stupnici. Mikroskop jsme na stojanu posunuli tak, aby ryska byla v okolí 1 na stupnici ( $1 \pm 0.5$ ).
- Přidávali jsme závaží, dokud stupnice stačila, tj. ryska nepřesáhla hodnotu 10 (o moc) a zapsali jsme si počet dílků, o které se ryska vychýlila.
- Celý postup v předchozím bodu jsme analogicky opakovali při odebírání závaží.

### 3. Úkol 3

- Změřili jsme délku struny metrem, průměr struny mikrometrem. Průměr kotouče umístěného na struně jsme změřili pomocí posuvného měřidla.
- Na provázky vedené přes kladku jsme postupně zavěšovali závaží.
- Úhel stočení struny jsme odečetli z úhloměru, který byl umístěn na kotouči.
- Analogicky jsme postup opakovali, když jsme závaží ubírali.

### 4. Úkol 4

- Zvážili jsme 2 válcová závaží s otvory uvnitř nich. Změřili jsme jejich výšku, vnější a vnitřní poloměr.
- Závaží jsme našroubovali na závitovou tyč do polohy A, tak aby tyč byla rovnoběžně s podlahou.
- Tyč jsme roztočili a počkali, až se kmity ustálí. Poté jsme tyč zastavili.
- Tyč jsme vychýlili z rovnovážné polohy a měřili jsme délku 10 kyvů.
- Závaží jsme posunuli do polohy B. Tyč jsme vychýlili z rovnovážné polohy a měřili jsme délku 10 kyvů.
- Nakonec jsme tyč vychýlili, a pak změřili délku 50 kyvů.

## 5 Vypracování

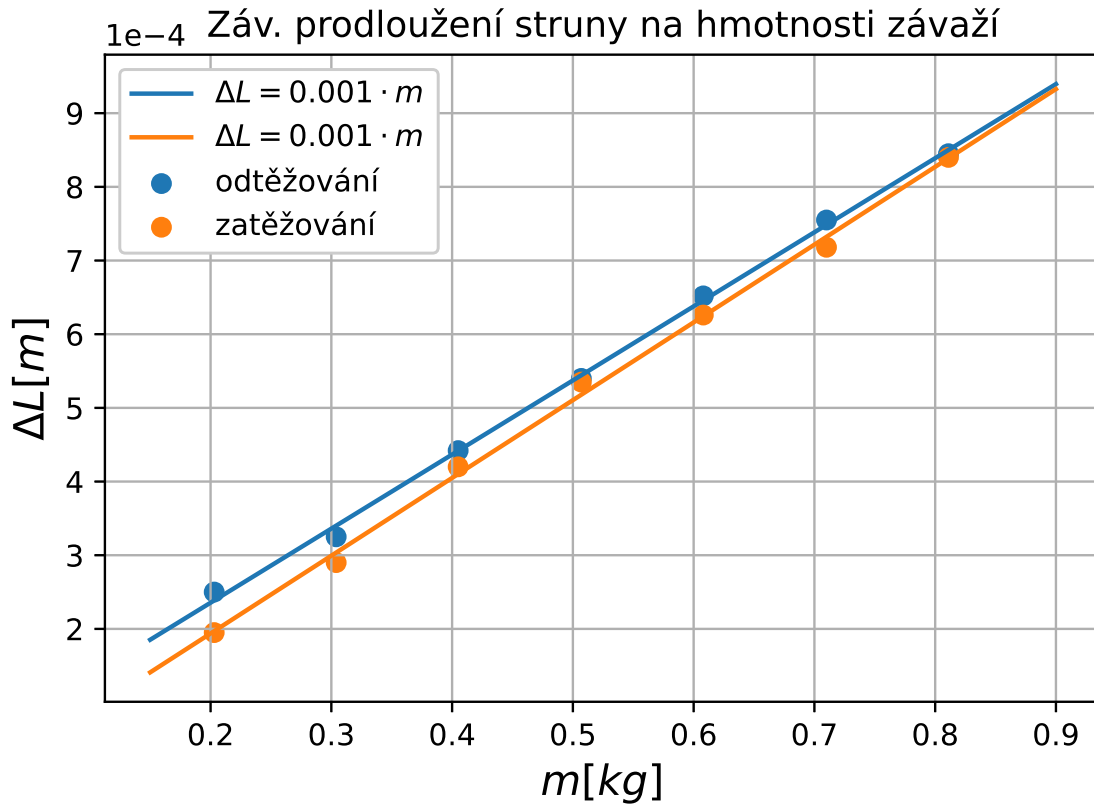
### 5.1 Úkol 1

Základní parametry soustavy jsou: předpínací závaží o hmotnosti  $m_0 = 0.101$  kg, průměr struny  $d_{str} = 10^{-4}$  ·  $(2.5 \pm 0.05)$  m, délka struny  $l_{str} = (0.96 \pm 0.0005)$  m. V Tab. 1 jsou uvedena naměřená data.

$m$ [kg] závaží	$\Delta L$ [m · 10 <sup>-5</sup> ] zatěžování	$\Delta L$ [m · 10 <sup>-5</sup> ] odlehčování
102	19.5	25
203	29	32.5
304	43	44.2
406	53.5	54
507	62.6	65.2
609	71.8	75.5
710	84	84.5

Tab. 1: Závislost prodloužení struny  $\Delta L$  na hmotnosti  $m$ .

Obr. 1 ukazuje závislost prodloužení struny na hmotnosti zavěšených závaží. Použitím metody nejmenších čtverců



Obr. 1: Závislost prodloužení struny na hmotnosti zavěšených závaží

na vztah (2), dostaneme koeficient  $a = \frac{gL}{\pi R^2 E} \Rightarrow E = \frac{gL}{\pi R^2 a}$ . Ze vzorce (15) dostaneme výslednou chybu měření  $E$ . Výsledná hodnota modulu pružnosti při zatěžování je:  $E = (182 \pm 7)$  GPa.

Výsledná hodnota modulu pružnosti při odtěžování je:  $E = (191 \pm 8)$  GPa.

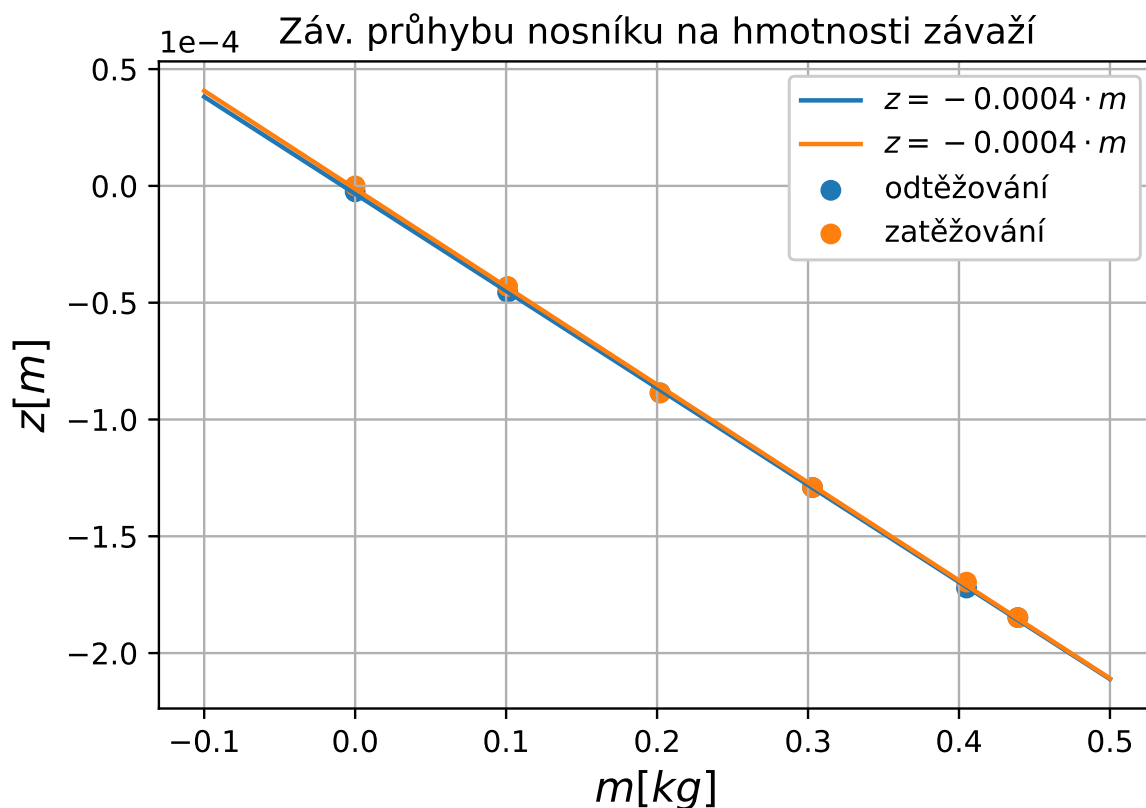
### 5.2 Úkol 2

Základní parametry soustavy jsou: vzdálenost břitů  $L = (0.495 \pm 0.0005)$  m, šířka nosníku  $a = 10^{-3} \cdot (3.995 \pm 0.005)$  m, výška nosníku  $b = 10^{-3} \cdot (9.99 \pm 0.005)$  m. V Tab. 2 jsou uvedena naměřená data.

$m$ [kg] závaží	$z$ [ $m \cdot 10^{-3}/39.5$ ] zatěžování	$z$ [ $m \cdot 10^{-3}/39.5$ ] odlehčování
0	X	0.1
101	1.7	1.8
202	3.5	3.5
303	5.1	5.1
405	6.7	6.8
439	7.3	X

Tab. 2: Závislost průhybu prostředního bodu nosníku na hmotnosti  $m$ .

Graf na Obr. 2 ilustruje závislost výchylky prostředního bodu nosníku na hmotnosti závaží.



Obr. 2: Závislost průhybu nosníku na hmotnosti závaží

Hodnoty modulu pružnosti v tahu určíme použitím metody nejmenších čtverců na rovnici (3) (analogie  $y_i = k \cdot x_i$ ).

Tím určíme neznámý koeficient  $k$ . Platí, že  $k = \frac{gL^3}{4Eab^3} \Rightarrow E = \frac{gL^3}{4kab^3}$ . Z rovnice (15) spočítáme chybu  $E$ .

Výsledná hodnotu modulu pružnosti při zatěžování je:  $E = (178 \pm 6)$  GPa.

Výsledná hodnotu modulu pružnosti při odtěžování je:  $E = (180 \pm 6)$  GPa.

### 5.3 Úkol 3

Základní parametry soustavy jsou: délka struny  $l = (0.663 \pm 0.005)$  m, průměr struny  $d = 10^{-3} \cdot (1.995 \pm 0.005)$  m, průměr kotouče  $\zeta = 10^{-2} \cdot (3.98 \pm 0.005)$  m. V Tab. 3 jsou uvedena naměřená data.

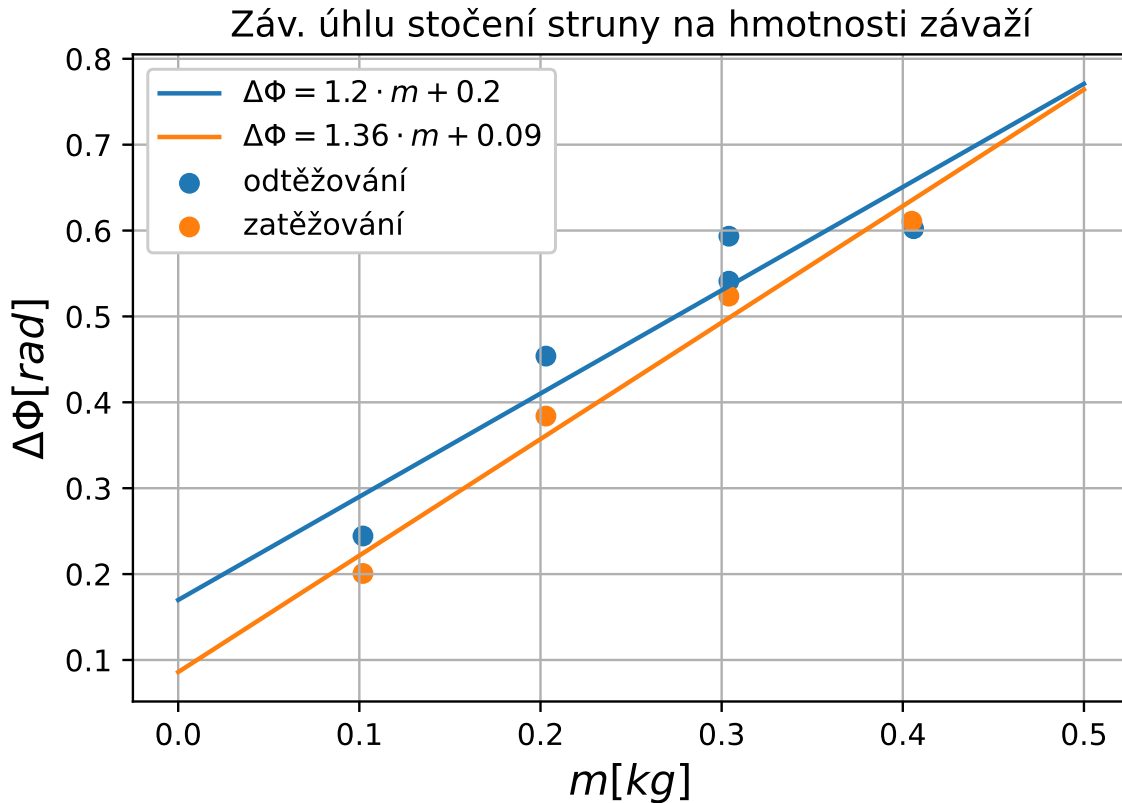
V grafu na Obr. 3 je vidět závislost úhlu stočení struny v závislosti na hmotnosti závaží. Použijeme metodu nejmenších čtverců na rovnici (4). A spočítáme chybu  $G$  dle (15).

Výsledná hodnotu modulu pružnosti ve smyku při zatěžování je:  $G = (123 \pm 7)$  GPa.

Výsledná hodnotu modulu pružnosti ve smyku při odtěžování je:  $G = (138 \pm 8)$  GPa.

$m$ [kg] závaží	$\Delta\Phi$ [°] zatěžování	$\Delta\Phi$ [°] odlehčování
102	11.5	14
203	22	26
304	30	31
304	X	34
405	35	X
406	X	34.5

Tab. 3: Závislost krutu struny na hmotnosti  $m$



Obr. 3: Závislost krutu struny na hmotnosti závaží

#### 5.4 Úkol 4

Základní parametry soustavy jsou: hmotnost závaží (pro obě stejná)  $M = 0.128$  kg, výška závaží č. 1  $v_1 = 10^{-3} \cdot (8.44 \pm 0.005)$  m, výška závaží č. 2  $v_2 = 10^{-3} \cdot (8.45 \pm 0.005)$  m, vnější poloměr závaží  $R_o = 10^{-2} \cdot (2.49 \pm 0.005)$  m, vnitřní poloměr závaží  $R_i = 10^{-2} \cdot (0.36 \pm 0.005)$  m, délka struny  $l = (0.229 \pm 0.0005)$  m, průměr struny  $d = 10^{-3} \cdot (0.49 \pm 0.005)$  m. Pro zjednodušení provedeme  $v_1 = v_2 = 10^{-3} \cdot (8.45 \pm 0.005)$  m. Vzdálenost středů závaží od osy otáčení v konfiguraci A je  $x_{A1} = 10^{-3} \cdot (8.75 \pm 0.05)$  m,  $x_{A2} = 10^{-3} \cdot (8.83 \pm 0.05)$  m a v konfiguraci B je  $x_{B1} = 10^{-3} \cdot (5.67 \pm 0.05)$  m,  $x_{B2} = 10^{-3} \cdot (5.69 \pm 0.05)$  m. Moment setrvačnosti závaží vůči ose otáčení určíme ze vzorce uvedeném v 9.

V Tab. 4 jsou uvedena naměřená data pro určení momentu setrvačnosti tyče.

Máme již potřebné informace pro určení momentu setrvačnosti tyče. Ze vzorce (6) vychází  $I_{tyč} = 0.00048$  kg · m<sup>-2</sup>. Chyba mom. setr. tyče je určena vzorcem (15), zde si ulehčíme práci a budeme předpokládat aproximovaný vzorec v (6). Zderivováním a dosazením hodnot do rovnice (15) máme výsledek  $I_{tyč} = 10^{-3} \cdot (0.48 \pm 0.05)$  kg · m<sup>-2</sup>. Ze vzorce (5) vyjádříme  $G$ . Celkový moment setrvačnosti soustavy je roven  $I = I_{tyč} + I_{záv1} + I_{záv2} = 10^{-3} \cdot (1.35 \pm 0.05)$  kg · m<sup>-2</sup>.

Dále do Tab. 5 jsou zpracována data z měření periody torzních kmitů. Při výpočtu byly použity vzorce (14) a (13).

#	$T_A$ [s]	$T_B$ [s]
1	7.04	5.28
2	7.34	5.28
3	7.10	5.24
4	7.12	5.24
5	7.21	5.26
$\sigma_{T_{A,B}}$	0.05	0.009
$\bar{T}_{A,B}$	7.16	5.260

Tab. 4: Naměřené hodnoty period kmitů, jejich průměr a chyba

k	$t_k$ [s]	$t_{k+5}$ [s]
1	12.95	78.96
2	26.14	92.21
3	39.40	105.34
4	52.53	118.65
5	65.7	131.55

Tab. 5: Metoda postupných měření; Závaží jsou umístěna v konfiguraci B.

Během časových intervalů byla změřena hodnota 5 kyvů tj.  $\frac{5}{2}T$ . Po zpracování naměřených hodnot postupnou metodou dostáváme výsledek  $T = \frac{2}{5}(13.20 \pm 0.01) \text{ s} = (5.28 \pm 0.004) \text{ s}$ .

Posledním krokem je určení modulu pružnosti ve smyku  $G$ . Vyjádříme ze vzorce (5)  $G$ , aplikujeme rovnici (15) a máme výsledek:  $G = (77 \pm 8) \text{ GPa}$ .

## 6 Diskuse

U všech úkolů naměřené hodnoty modulu pružnosti v tahu nebo modulu pružnosti ve smyku ukazují, že zkoumaná tělesa jsou z oceli. To jsme i očekávali, protože struny jsou většinou vyrobeny z oceli, totéž platí pro nosník. U ocelí  $E \in \langle 180, 210 \rangle \text{ GPa}$ ,  $G \in \langle 75, 90 \rangle \text{ GPa}$ .

### 6.1 Úkol 1

Podle závislosti prodloužení struny na hmotnosti závaží bych usoudil, že proběhla mírná plastická deformace struny při zatěžování struny. Při odlehčování poté neprobíhá deformace po stejné křivce, a proto se moduly pružnosti v tahu při zatěžování a odlehčování liší

Měření je určité zatíženo systematickou chybou. Struna byla upnuta v držáku lehce nakřivo. Díky tomu se bude struna méně natahovat, odhaduji, že zde by mohla vzniknout chyba 2 GPa.

Dále je struna uchycena uvnitř indikátorových hodin, které při zatížení ukázaly nějakou hodnotu, ale při drobném poklepání na hodiny se ručička na hodinách posunula. V mechanismu hodin tedy muselo být nějaké tření, díky kterému se mechanismus zadrhával. Neznám mechanismus uvnitř indikátorových hodin, ale minimální chyba bude 3 GPa.

### 6.2 Úkol 2

Díky měření výchylky pomocí mikroskopu mají výsledky nejvyšší přesnost. U tohoto úkolu je poměrně důležité, aby místo, kde zavěšujeme závaží, bylo přímo uprostřed.

Měření je omezeno stupnicí v mikroskopu. Byli jsme schopni pověsit pouze 5 závaží, než se ryska dostala mimo stupnici. V tomto úkolu nebyla přesáhnuta mez pružnosti, a proto deformace při zatěžování i odtěžování probíhá po stejné křivce.

Ryska často na stupnici kmitala, jakýkoliv otřes ji ihned rozkmital (bouchnutí do stolu, otřesy podlahy při chůzi...).

Chyba při čtení by se pohybovala okolo  $\sigma_{\text{čtení}} = \frac{10^{-3}}{39.5} \cdot \frac{4}{10} \text{ m} \approx 10^{-5} \text{ m}$ . Tato chyba nebude mít velký vliv na výsledek.

## 6.3 Úkol 3

Vychází výsledek, který vůbec neodpovídá tabulkové hodnotě. Proč?

Důvodem bude malé množství dat. Dochází ke špatnému určení parametru  $a$  z rovnice (9), a tím pádem špatnému určení  $G$ . Předpokládejme  $b = 0$ , poté dostaneme

$$a = \frac{\sum_{i=1}^N x_i y_i}{\sum_{i=1}^N (x_i)^2}. \quad (16)$$

Rovnici (16) použijeme na vzorec (4) s výsledkem

$$G = \frac{2\zeta g L \sum_{i=1}^N (m_i)^2}{\pi R^4 \sum_{i=1}^N m_i \Phi_i}. \quad (17)$$

Pro zatěžování je  $G = (102 \pm 5)$  GPa a pro odlehčování  $G = (95 \pm 5)$  GPa.

Problém u tohoto experimentu vidím v kotouči umístěném na struně. Prvním problémem jsou provázky přivázané na kotouči. Nešlo přesně lokalizovat, kde provázky skutečně "tahají" za kotouč, tím by se mohl změnit parametr  $\zeta$  ve vzorci (3). Další nedokonalostí jsou kladky, které do mechanismu přidávají místo, kde se může tvořit nadbytečné tření (provázky o kladky, místo otačení kladek).

Odhaduji  $\sigma_{sys} = 4$  GPa.

Kdybychom měli k dispozici větší stojan, mohli bychom zavěsit více závaží a výsledek zpřesnit.

## 6.4 Úkol 4

Nejméně povedený úkol z naší strany. Nesmyslně jsme měřili periody  $T_A$ ,  $T_B$ , které jsou uvedené v 4. Měli jsme rovnou použít postupnou metodu a měření  $T_A$ ,  $T_B$  by bylo mnohem přesnější. Poté bychom více snížili statickou chybu měření  $G$ .

Další nepřesnosti jsou měření času a velice zkroucená krátká struna. Systematická chyba může být okolo  $\sigma_{sys} = 7$  GPa.

Pokud bychom chtěli zpřesnit výsledek, bylo by dobré vyměnit strunu, měřit jinak čas (pomocí záznamu z kamery, laserem při průchodu tyče maximální výchylkou atd.), zavěsit tyč přesně uprostřed (tyč byla asymetricky zavěšena).

## 7 Závěr

Uvedeme výsledky našich experimentů.

### 7.1 Úkol 1

Výsledná hodnotu modulu pružnosti při zatěžování je:  $E = (182 \pm 7(stat) \pm 5(sys))$  GPa

Výsledná hodnotu modulu pružnosti při odtěžování je:  $E = (191 \pm 8(stat) \pm 5(sys))$  GPa

### 7.2 Úkol 2

Výsledná hodnotu modulu pružnosti při zatěžování je:  $E = (178 \pm 6(stat))$  GPa

Výsledná hodnotu modulu pružnosti při odtěžování je:  $E = (180 \pm 6(stat))$  GPa

### 7.3 Úkol 3

Výsledná hodnotu modulu pružnosti ve smyku při zatěžování je:  $G = (102 \pm 5(stat) \pm 4(sys))$  GPa

Výsledná hodnotu modulu pružnosti ve smyku při odtěžování je:  $G = (95 \pm 5(stat) \pm 4(sys))$  GPa

### 7.4 Úkol 4

Výsledná hodnotu modulu pružnosti ve smyku je:  $G = (77 \pm 8(stat) \pm 7(sys))$  GPa



## 8 Použitá literatura

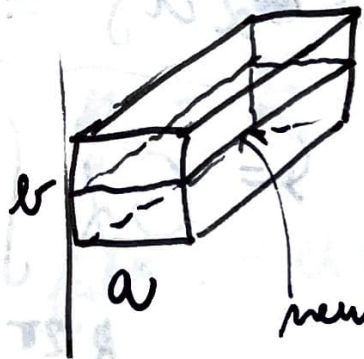
- [1] Kolektiv KF. *Návod: Úloha 3 – Modul pružnosti v tahu a ve smyku* [Online, cit. 4. října 2021].  
[http://praktikum.fjfi.cvut.cz/pluginfile.php/415/mod\\_resource/content/test.pdf](http://praktikum.fjfi.cvut.cz/pluginfile.php/415/mod_resource/content/test.pdf)
- [2] Kolektiv KF. *Chyby měření* [Online, cit. 4. října 2021].  
<http://praktikum.fjfi.cvut.cz/documents/chybynav/chyby-o.pdf>
- [3] CHALOUPKA, Petr. Základy fyzikálních měření [online]. In: . [cit. 2021-10-3]. Dostupné z: <https://people.fjfi.cvut.cz/chalopet/ZFM/ZFM.pdf>
- [4] HEJNOVÁ, Eva. METODY MĚŘENÍ A ZPRACOVÁNÍ MĚŘENÍ [online]. In: . s. 8 [cit. 2021-10-3]. Dostupné z: [http://physics.ujep.cz/~ehejnova/UTM/materialy\\_studium/metody\\_mereni.pdf](http://physics.ujep.cz/~ehejnova/UTM/materialy_studium/metody_mereni.pdf)

# **Příloha**

## **9 Domácí příprava**

DCV

1

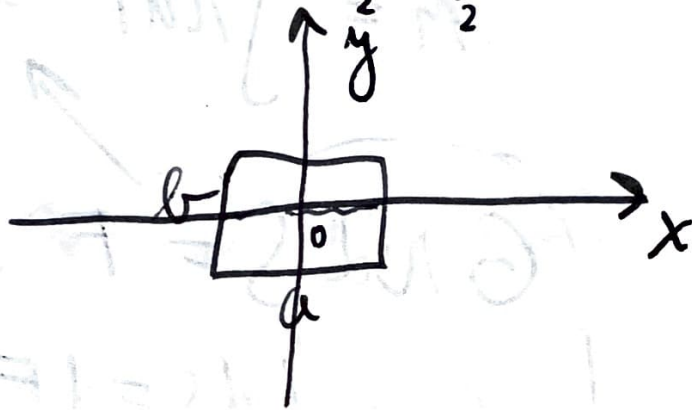


vnitř. plocha

$$J =$$

$$\int y^2 dS = \int_{-b/2}^{b/2} \int_{-a/2}^{a/2} y^2 dx dy$$

$$= x \left( \frac{b}{2} \right)^3 \frac{2}{3} = \frac{ab^3}{12}$$



Fakulta jaderná a fyzikálně inženýrská  
Fyzikální praktikum I - zimní semestr

$$② \min \{q\} = \frac{GTR^4}{2L} \varphi_i \Rightarrow$$

$$\Rightarrow \min = \frac{GTR^4}{4\delta gL} \varphi_i$$

~~$\frac{GTR^4}{2\delta gL}$~~  + metoda nejmenších čtverců

$$f: y = ax + b$$

$$a = \frac{\sum y_i x_i}{\sum x_i^2}, b = 0$$

$$\frac{GTR^4}{4\delta gL} = \frac{\sum m_i \varphi_i}{\sum \varphi_i^2}$$

$$G = \frac{\cancel{TR^4} \cdot \frac{\delta gL}{TR^4} \sum m_i \varphi_i}{\sum \varphi_i^2}$$

nebo  
✓

$$\frac{1}{a} m_i = \varphi_i$$

$$\Rightarrow \frac{1}{a} = \frac{\sum m_i \varphi_i}{\sum (m_i)^2}$$

$$a = \frac{\sum (m_i)^2}{\sum m_i \varphi_i} \Rightarrow$$

$$G = \frac{4\delta gL}{TR^4} \frac{\sum (m_i)^2}{\sum m_i \varphi_i}$$

Fakulta inženýrská fyzikální inženýrská  
Fyzikální praktikum - zimní semestr

$$I_{\text{cel}} = I_{\text{ky}} + I_{\text{ro}_1} + I_{\text{ro}_2}$$

$$\left(\frac{2\pi}{T}\right)^2 = K_1$$

$$T^2 = \frac{4\pi^2}{K_1}$$



$$T_1^2 = \frac{4\pi^2}{2LI} = K_1 I$$

*přes. vásove kyce  
jinde I<sub>ky</sub>*

$$I_C = \frac{m_A}{4} (R_{T1}^2 + R_{T2}^2 + \frac{V_I^2}{3}) + \frac{m_{Z1}}{4} (R_{Z1}^2 + R_{Z2}^2 + \frac{V_{Z1}^2}{3}) +$$

$$m_{Z1} \left( \frac{x_1}{2} \right)^2 + \frac{m_{Z2}}{4} (R_{Z21}^2 + R_{Z22}^2 + \frac{V_{Z2}^2}{3}) + \frac{m(x_2)}{2} \left( \frac{V_{Z2}}{2} \right)^2$$

$$\frac{T_a^2}{I_a} = \frac{T_b^2}{I_b}$$

*konstanta periody T<sub>i</sub> při  
nukleárně I<sub>i</sub>*

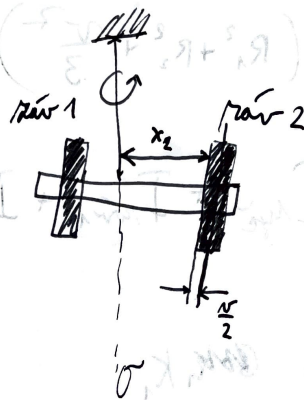
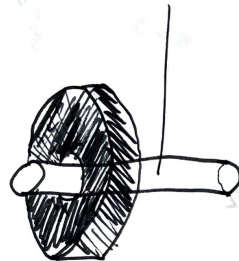
$$T_a^2 (I_{\text{ky}} + I_b) = T_b^2 (I_{\text{ky}} + I_a)$$

$$I_{\text{ky}} (T_a^2 - T_b^2) = I_a T_b^2 - I_b T_a^2$$

$$\begin{cases} I_{a1} \approx I_{a2} \\ I_{b1} \approx I_{b2} \end{cases}$$

$$I_{\text{ky}} = \frac{2(I_a T_b^2 - I_b T_a^2)}{T_a^2 - T_b^2}$$

$$I_{\text{pár. válcové}} = \frac{m}{4} \left( R_i^2 + R_o^2 + \frac{r^2}{3} \right)$$



Glem. veta

$$I_{\text{pár válcové}} = \frac{m}{4} \left( R_i^2 + R_o^2 + \frac{r^2}{3} \right) + m \left( x_2 + \frac{r}{2} \right)^2$$

③, ~~W~~  

$$W^2 = \frac{GTR^4}{2LI}$$

index A, B označují veličiny  
 v konfiguraci rámců v poloze AB  
 index 1 → rámců 1  
 index 2 → rámců 2

~~W~~  

$$T_A : \frac{4\pi^2}{T_A^2} = \frac{GTR^4}{2L} \frac{1}{I_A} \quad ①$$

$$T_B : \frac{4\pi^2}{T_B^2} = K \frac{1}{I_B} \quad ②$$

$$\frac{①}{②} \Rightarrow \frac{T_B^2}{T_A^2} = \frac{I_B}{I_A} = \frac{I_{Myc} + I_{B1} + I_{B2}}{I_{Myc} + I_{A1} + I_{A2}}$$

$$T_B^2 (I_T + I_{A1} + I_{A2}) = T_A^2 (I_T + I_{B1} + I_{B2})$$

$$(T_B^2 - T_A^2) I_{Tyc} = I_{B1} T_A^2 + I_{B2} T_A^2 - T_A^2 I_{A1} - T_A^2 I_{A2}$$

$$I_{Myc} = \frac{T_A^2 (I_{B1} + I_{B2}) - T_A^2 (I_{A1} + I_{A2})}{T_B^2 - T_A^2}$$

$$\left[ \frac{T_B^2}{T_A^2} = \frac{I_B}{I_A} = \frac{I_{Myc} + I_{B1} + I_{B2}}{I_{Myc} + I_{A1} + I_{A2}} \right]$$

$$I_{Myc} = \frac{T_A^2 (I_{B1} + I_{B2}) - T_B^2 (I_{A1} + I_{A2})}{T_B^2 - T_A^2}$$